

放射性廃棄物の海洋投棄処分に関する研究
—固化体中放射性成分の溶出と海洋における拡散について—

京大工 正員 岩井重久 井上輝輝 ○ 寺島友

放射性廃棄物をある種の固化剤によって固化した場合、廃棄物中の放射性核種や各種の塩は、固化剤の成分と物理化学的に結合して、あるいは単独の結晶として固化体中に分散して状態で存在する。これらが海水に接触すると、海水中化学成分との反応や解離を生じ、溶解性の物質は溶液に移行する。こうした現象は、固化体が空なものであれば固化体表面のみに付いて生ずるが、固化体が多孔質である、海水の浸透を許すものであれば、固化体表面、内部隙間にかけて起こり、内部隙間の溶解成分は拡散によって外部へ溶出する。今回ほどくに、こうした溶解、溶出の機構について考察を加えた。

(1) 非多孔性固化体表面上における放射性核種の溶解

固化体内部の放射性核種が、固化剤の成分と結合して存在する場合にはもちろん、単独結晶としての一に分散してある場合には、表面における長期的な溶解を対象とするが、放射性核種が表面の溶液へ移行する速度は、固化体の母材である物質の溶解速度により律速となる。放射性核種が固化剤と結合せずに、固化体の表面に露出してある場合には適合しないが、こうしたものの溶解はごく短期間に終了する。さて、問題となるのは固化体用材が解離性に富む、あるいは、海水成分との反応によって解離性の物質を形成する場合が大多であるが、つまり固化から表面溶液への移行の速度が、表面からの離脱速度より大きくて、表面が飽和状態に保持される場合である。こうした場合の物質移動は、巨視的に境界層を仮定し、Fickの法則を適用して取り扱われるが、まず、飽和状態における表面での放射性物質濃度を C_s 、境界層外の濃度は海水の流動によって零に保たれなければならない。溶解速度 N は(1)式、溶解量 M_t は(2)式のように示される。 α は物質移動係数(溶出係数と呼ぶ)、 D は拡

$$N = D \frac{C_s e^{-\lambda t}}{S} = \alpha C_s e^{-\lambda t} \dots (1) \quad M_t = \alpha C_s \int_0^t S e^{-\lambda t} dt \dots (2) \quad C = C_s \left[1 - \exp \left(-\frac{\alpha S}{V} t \right) \right] \dots (3)$$

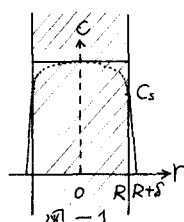
係数、 S は境界層厚、 V は表面積、 λ は放射性核種の減衰係数($= \frac{0.693}{T}$)である。 α および C_s は、表面 S の固化体と半径 R の海水に浸漬した場合の、核種の減衰が無視できるような時間内での濃度変化(3)から求めることができる。つまに、固化体用材が比較的、化学的耐久性がありて、表面における海水成分との反応速度が溶解を律速する場合の N 、 M_t は、(1)、(2)式において C_s を固化体内濃度 C_0 に、 α を反応速度に関する係数 α' にあわせて表わすことことができる。

(2) 多孔性固化体中放射性核種の拡散溶出

固化体が多孔性であり、固化体表面上における溶解の速度が小さければ、固化体内隙間を通じての拡散が外部への溶出を律速する。また固化体が円柱形であり、次の側面からの放射性核種の拡散溶出が起こる場合を考えよう。拡散の基礎式は円柱座標で(4)式のように示されるが、図-1のようにならって座標軸をとり、固化体外部の海水は流動しないこと

$$\frac{\partial C}{\partial t} = \frac{1}{r} \frac{\partial}{\partial r} \left(D_r r \frac{\partial C}{\partial r} \right) - \lambda C \dots (4)$$

$$C(r, 0) = C_0 \quad (R \leq r) \dots (5) \quad D_r \frac{\partial C}{\partial r} \Big|_{r=R} = - \frac{D}{S} C(R, t) = - \alpha C_s \dots (6) \quad \frac{\partial C}{\partial r} \Big|_{r=0} = 0 \dots (7)$$



を考慮すると、初期、境界条件は式(5)、(6)、(7)のようになります。すなはち条件のひとつで(4)式とLaplace変換法により解くと、固化体内部の濃度は(8)式のようになります。

$$\frac{C}{C_0} = \sum_{n=1}^{\infty} \frac{2k J_0(\frac{k}{R} B_n)}{(B_n^2 + k^2) J_0(B_n)} e^{-(\frac{D_i B_n^2}{R^2} + \lambda)t} \quad \dots \dots (8)$$

(8) 式の右側の式は $\beta J_0(\beta) - k J_0(\beta) = 0$ の根 $\beta = \frac{dR}{D_i}$ のときの $J_0(\beta)$ である。

また、表面における拡散溶出速度 N 、溶出量の初期量に対する比 M_t/M_0 は、(10)、(11) 式のようになります。

$$N(R, t) = -D_i \frac{\partial C}{\partial x} \Big|_{x=R} = \alpha C_s = \sum_{n=1}^{\infty} \frac{2 C_0 D_i k^2}{R (B_n^2 + k^2)} e^{-(\frac{D_i B_n^2}{R^2} + \lambda)t} \quad \dots \dots (10)$$

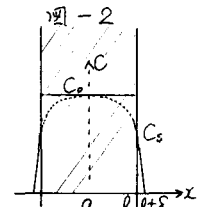
$$\frac{M_t}{M_0} = \sum_{n=1}^{\infty} \frac{4 [1 - e^{-(\frac{D_i B_n^2}{R^2} + \lambda)t}]}{(B_n^2/R^2 + 1) \times B_n^2 / D_i} \quad \dots \dots (11)$$

つづいて、直方体、あるいは立方体の形状をもつて固化体の相対面と2面、片側1面と2面の拡散溶出が起こる場合には、基礎式は(12)のようになりますが、これを初期、境界条件

$$\frac{\partial C}{\partial t} = D_i \frac{\partial^2 C}{\partial x^2} - \lambda C \quad \dots \dots (12)$$

(13)～(15)のひとつで解くと、固化体 内濃度、表面での拡散溶出速度、

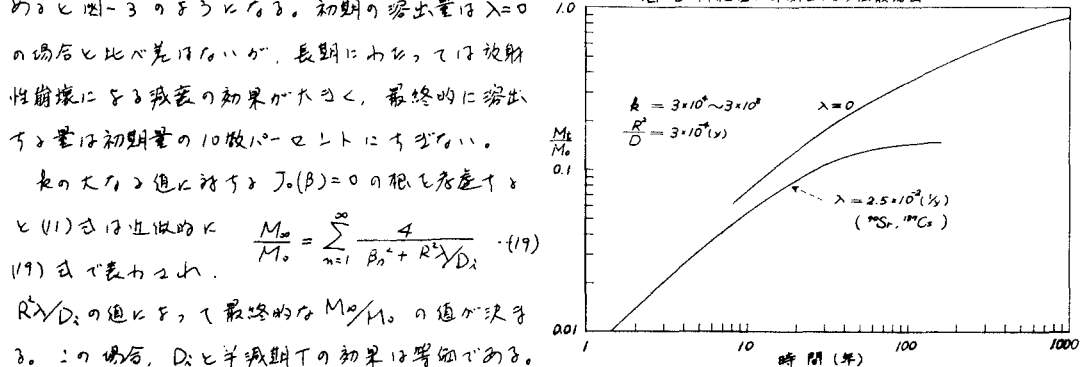
$$C(x, 0) = C_0, |x| \leq l \quad \dots \dots (13) \quad D_i \frac{\partial C}{\partial x} \Big|_{x=l} = -\frac{D}{\delta} (C(l, t)) = -\alpha C_s \quad \dots \dots (14) \quad \frac{\partial C}{\partial x} \Big|_{x=0} = 0 \quad \dots \dots (15)$$



は式(16)、(17)式で、また溶出量の割合は、内面からの溶出の場合には(18)式で表され、片面の場合には(19)式で表されます。
 $\frac{C}{C_0} = \sum_{n=1}^{\infty} \frac{2 k \cos(\beta_n \frac{x}{l})}{(k^2 + k + \beta_n^2) \cos(\beta_n)} e^{-(\frac{D_i B_n^2}{l^2} + \lambda)t} \quad \dots \dots (16)$
 $\beta_n = \frac{dR}{D_i} \tan \beta = k \text{ の正根}$
 $N(l, t) = \sum_{n=1}^{\infty} \frac{2 C_0 D_i k^2}{l (k^2 + k + \beta_n^2)} e^{-(\frac{D_i B_n^2}{l^2} + \lambda)t} \quad \dots \dots (17)$
 $\frac{M_t}{M_0} = \sum_{n=1}^{\infty} \frac{2 D_i k^2 [1 - e^{-(\frac{D_i B_n^2}{l^2} + \lambda)t}]}{l (k^2 + k + \beta_n^2)} \quad \dots \dots (18)$

(3) 円柱状固化体中 $^{103}\text{Sr}, ^{133}\text{Cs}$ の拡散溶出実験例
 滲離係数よりつけては、再処理廃液セメント固化体中 $^{103}\text{Sr}, ^{133}\text{Cs}$ の表面溶離実験はまだないが、すでに報告していると $6 \times 10^{-6} \sim 10^{-5}$ % の値が得られている。他方、液中分子拡散係数 D は通常 $10^{-5} \sim 10^{-6}$ cm $^2/\text{s}$ であり、境界層厚さは、外部の流速条件によっては、 $D_i = 10^{-2} \sim 10^{-4}$ cm $^2/\text{s}$ を採用してよいとし、 $\alpha = D_i/D$ は $10^{-1} \sim 10^{-3}$ % の範囲となる。固化体内拡散係数 D_i は、固化体の性状によって大半に変化するが、アスファルト中で $10^{-15} \text{ cm}^2/\text{s}$ という報告もあり、遮蔽材中では $10^{-12} \sim 10^{-14} \text{ cm}^2/\text{s}$ といふ報告もある。遮蔽材中の D_i は、半径 $R = 30 \text{ cm}$ とすると、 $k = dR/D_i = 3 \times 10^8 \sim 3 \times 10^9$ といふ大きな値となる。こうして k の値に注目して(19)式の根 β_n は、Bessel函数 J_0, J_1 が $-1 \sim 1$ 間の振動運動函数であることを考慮すると、近似的に $J_0(\beta) = 0$ の根を考えてよい。以上の D_i, R, α および $\beta = \sqrt{D_i/R}$ の近似値を用い、 M_t/M_0 の時間変化を示すと図-3 のようになります。初期の溶出量は $\lambda = 0$ の場合と比べて差はないが、長期になると吸収性崩壊による減衰の効果が大きくなり、最終的に溶出量は初期量の10倍以上になると予想される。

図-3 円柱固化体側面からの拡散溶出



k の大きな値に対する $J_0(\beta) = 0$ の根を考慮すると

$$(19) \text{ 式で表されます。} \quad \frac{M_t}{M_0} = \sum_{n=1}^{\infty} \frac{4}{B_n^2 + R^2/D_i} \quad \dots \dots (19)$$

R^2/D_i の逆数と、最終的な M_t/M_0 の値が決まる。

この場合、 D_i と半減期 T の初期は等しい。